Eingabe: Farbmetrisches Offset-Reflektiv-System ORS18

für Buntton *h* = lab*h = 38/360 = 0.105*
*lab*tch* und *lab*nch*

D65: Buntton O
LCH*Ma: 48 83 38
olv*Ma: 1.0 0.0 0.0

Dreiecks-Helligkeit *t**

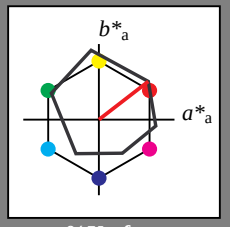

%Umfang

u*$_{rel}$ = 93

ORS18; adaptierte CIELAB-Daten

	$L^*=L^*_a$	a^*_a	b^*_a	$C^*_{ab,a}$	$h^*_{ab,a}$
O_{Ma}	47.94	65.39	50.52	82.63	38
Y_{Ma}	90.37	−10.26	91.75	92.32	96
L_{Ma}	50.9	−62.83	34.96	71.91	151
C_{Ma}	58.62	−30.34	−45.01	54.3	236
V_{Ma}	25.72	31.1	−44.4	54.22	305
M_{Ma}	48.13	75.28	−8.36	75.74	354
N_{Ma}	18.01	0.0	0.0	0.0	0
W_{Ma}	95.41	0.0	0.0	0.0	0
R_{CIE}	39.92	58.66	26.98	64.57	25
J_{CIE}	81.26	−2.16	67.76	67.79	92
G_{CIE}	52.23	−42.25	11.76	43.87	164
B_{CIE}	30.57	1.15	−46.84	46.86	271

1,00

%Regularität

g*$_{H,rel}$ = 57

g*$_{C,rel}$ = 59

0,75

0,25

0,00

n = 0,00*

n = 0,25*

n = 0,50*

n = 1,0*

0,25 0,50 0,75 1,00

Schwarzheit *n**

relative Buntheit *c**

Ausgabe: Farbmetrisches Fernseh-Licht-System TLS18

für Buntton *h* = lab*h = 35/360 = 0.097*
*lab*tch* und *lab*nch*

D65: Buntton O
LCH*Ma: 53 87 35
olv*Ma: 1.0 0.0 0.0

Dreiecks-Helligkeit *t**

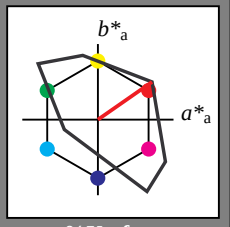

%Umfang

u*$_{rel}$ = 118

TLS18; adaptierte CIELAB-Daten

	$L^*=L^*_a$	a^*_a	b^*_a	$C^*_{ab,a}$	$h^*_{ab,a}$
O_{Ma}	52.76	71.63	49.88	87.29	35
Y_{Ma}	92.74	−20.02	84.97	87.3	103
L_{Ma}	84.0	−78.98	73.94	108.2	137
C_{Ma}	87.14	−44.41	−13.11	46.32	196
V_{Ma}	35.47	64.92	−95.06	115.12	304
M_{Ma}	59.01	89.33	−55.67	105.26	328
N_{Ma}	18.01	0.0	0.0	0.0	0
W_{Ma}	95.41	0.0	0.0	0.0	0
R_{CIE}	39.92	58.74	27.99	65.07	25
J_{CIE}	81.26	−2.88	71.56	71.62	92
G_{CIE}	52.23	−42.41	13.6	44.55	162
B_{CIE}	30.57	1.41	−46.46	46.49	272

%Regularität

g*$_{H,rel}$ = 22

g*$_{C,rel}$ = 40

n = 0,00*

n = 0,25*

n = 0,50*

n = 1,0*

0,25 0,50 0,75 1,00

Schwarzheit *n**

relative Buntheit *c**

OG510−7, 5 stufige Reihen für konstanten CIELAB Buntton 38/360 = 0.105 (links)

5 stufige Reihen für konstanten CIELAB Buntton 35/360 = 0.097 (rechts)

BAM-Prüfvorlage OG51; Farbmetrik-Systeme ORS18 & TLS18 input: *cmy0* setcmykcolor*
D65: 2 Koordinatendaten von 5stufigen Farbreihen für 10 Buntt**ö**ne output: *no change compared to input*

Eingabe: Farbmetrisches Offset-Reflektiv-System ORS18

für Buntton *h* = lab*h = 96/360 = 0.268*
*lab*tch* und *lab*nch*

D65: Buntton Y
LCH*Ma: 90 92 96
olv*Ma: 1.0 1.0 0.0

Dreiecks-Helligkeit *t**

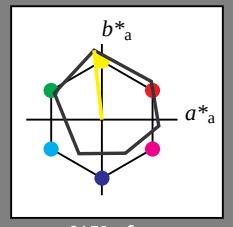

%Umfang

u^*_{rel} = 93

%Regularität

$g^*_{H,rel}$ = 57

$g^*_{C,rel}$ = 59

ORS18; adaptierte CIELAB-Daten	$L^*=L^*_a$	a^*_a	b^*_a	$C^*_{ab,a}$	$h^*_{ab,a}$
O_{Ma}	47.94	65.39	50.52	82.63	38
Y_{Ma}	90.37	−10.26	91.75	92.32	96
L_{Ma}	50.9	−62.83	34.96	71.91	151
C_{Ma}	58.62	−30.34	−45.01	54.3	236
V_{Ma}	25.72	31.1	−44.4	54.22	305
M_{Ma}	48.13	75.28	−8.36	75.74	354
N_{Ma}	18.01	0.0	0.0	0.0	0
W_{Ma}	95.41	0.0	0.0	0.0	0
R_{CIE}	39.92	58.66	26.98	64.57	25
J_{CIE}	81.26	−2.16	67.76	67.79	92
G_{CIE}	52.23	−42.25	11.76	43.87	164
B_{CIE}	30.57	1.15	−46.84	46.86	271

1,00
0,75
0,25
0,00
n^* = 0,00
n^* = 0,25
n^* = 0,50
n^* = 1,0
Schwarzheit n^*
0,25 0,50 0,75 1,00
relative Buntheit c^*

Ausgabe: Farbmetrisches Fernseh-Licht-System TLS18

für Buntton *h* = lab*h = 103/360 = 0.287*
*lab*tch* und *lab*nch*

D65: Buntton Y
LCH*Ma: 93 87 103
olv*Ma: 1.0 1.0 0.0

Dreiecks-Helligkeit *t**

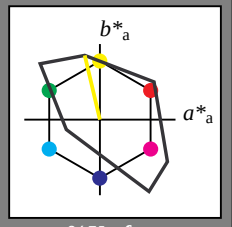

%Umfang

u^*_{rel} = 118

%Regularität

$g^*_{H,rel}$ = 22

$g^*_{C,rel}$ = 40

TLS18; adaptierte CIELAB-Daten	$L^*=L^*_a$	a^*_a	b^*_a	$C^*_{ab,a}$	$h^*_{ab,a}$
O_{Ma}	52.76	71.63	49.88	87.29	35
Y_{Ma}	92.74	−20.02	84.97	87.3	103
L_{Ma}	84.0	−78.98	73.94	108.2	137
C_{Ma}	87.14	−44.41	−13.11	46.32	196
V_{Ma}	35.47	64.92	−95.06	115.12	304
M_{Ma}	59.01	89.33	−55.67	105.26	328
N_{Ma}	18.01	0.0	0.0	0.0	0
W_{Ma}	95.41	0.0	0.0	0.0	0
R_{CIE}	39.92	58.74	27.99	65.07	25
J_{CIE}	81.26	−2.88	71.56	71.62	92
G_{CIE}	52.23	−42.41	13.6	44.55	162
B_{CIE}	30.57	1.41	−46.46	46.49	272

1,00
0,75
0,25
0,00
n^* = 0,00
n^* = 0,25
n^* = 0,50
n^* = 1,0
Schwarzheit n^*
0,25 0,50 0,75 1,00
relative Buntheit c^*

OG510−7, 5 stufige Reihen für konstanten CIELAB Buntton 96/360 = 0.268 (links)
5 stufige Reihen für konstanten CIELAB Buntton 103/360 = 0.287 (rechts)

BAM-Prüfvorlage OG51; Farbmetrik-Systeme ORS18 & TLS18 input: *cmy0* setcmykcolor*
D65: 2 Koordinatendaten von 5stufigen Farbreihen für 10 Buntt output: *no change compared to input*

Eingabe: Farbmetrisches Offset-Reflektiv-System ORS18

für Buntton *h* = lab*h = 151/360 = 0.419*
*lab*tch* und *lab*nch*

D65: Buntton L
LCH*Ma: 51 72 151
olv*Ma: 0.0 1.0 0.0

Dreiecks-Helligkeit *t**

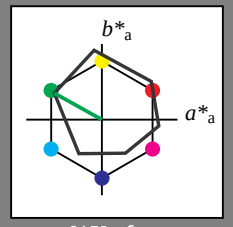

%Umfang

u*$_{rel}$ = 93

%Regularität

g*$_{H,rel}$ = 57

g*$_{C,rel}$ = 59

ORS18; adaptierte CIELAB-Daten

	L*=L*$_a$	a*$_a$	b*$_a$	C*$_{ab,a}$	h*$_{ab,a}$
O_{Ma}	47.94	65.39	50.52	82.63	38
Y_{Ma}	90.37	−10.26	91.75	92.32	96
L_{Ma}	50.9	−62.83	34.96	71.91	151
C_{Ma}	58.62	−30.34	−45.01	54.3	236
V_{Ma}	25.72	31.1	−44.4	54.22	305
M_{Ma}	48.13	75.28	−8.36	75.74	354
N_{Ma}	18.01	0.0	0.0	0.0	0
W_{Ma}	95.41	0.0	0.0	0.0	0
R_{CIE}	39.92	58.66	26.98	64.57	25
J_{CIE}	81.26	−2.16	67.76	67.79	92
G_{CIE}	52.23	−42.25	11.76	43.87	164
B_{CIE}	30.57	1.15	−46.84	46.86	271

Ausgabe: Farbmetrisches Fernseh-Licht-System TLS18

für Buntton *h* = lab*h = 137/360 = 0.38*
*lab*tch* und *lab*nch*

D65: Buntton L
LCH*Ma: 84 108 137
olv*Ma: 0.0 1.0 0.0

Dreiecks-Helligkeit *t**

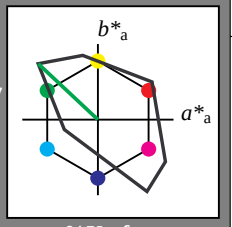

%Umfang

u*$_{rel}$ = 118

%Regularität

g*$_{H,rel}$ = 22

g*$_{C,rel}$ = 40

TLS18; adaptierte CIELAB-Daten

	L*=L*$_a$	a*$_a$	b*$_a$	C*$_{ab,a}$	h*$_{ab,a}$
O_{Ma}	52.76	71.63	49.88	87.29	35
Y_{Ma}	92.74	−20.02	84.97	87.3	103
L_{Ma}	84.0	−78.98	73.94	108.2	137
C_{Ma}	87.14	−44.41	−13.11	46.32	196
V_{Ma}	35.47	64.92	−95.06	115.12	304
M_{Ma}	59.01	89.33	−55.67	105.26	328
N_{Ma}	18.01	0.0	0.0	0.0	0
W_{Ma}	95.41	0.0	0.0	0.0	0
R_{CIE}	39.92	58.74	27.99	65.07	25
J_{CIE}	81.26	−2.88	71.56	71.62	92
G_{CIE}	52.23	−42.41	13.6	44.55	162
B_{CIE}	30.57	1.41	−46.46	46.49	272

1,00
0,75
0,50
0,25
0,00

n* = 1,0
n* = 0,50
n* = 0,25
n* = 0,00

Schwarzheit *n**

0,25 0,50 0,75 1,00

relative Buntheit *c**

OG510−7, 5 stufige Reihen für konstanten CIELAB Buntton 151/360 = 0.419 (links)

5 stufige Reihen für konstanten CIELAB Buntton 137/360 = 0.38 (rechts)

Eingabe: Farbmetrisches Offset-Reflektiv-System ORS18

für Buntton *h* = lab*h = 236/360 = 0.656*
*lab*tch* und *lab*nch*

D65: Buntton C
LCH*Ma: 59 54 236
olv*Ma: 0.0 1.0 1.0

Dreiecks-Helligkeit *t**

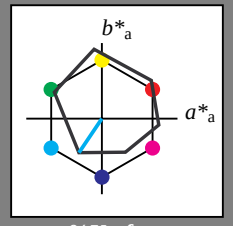

%Umfang

u*$_{rel}$ = 93

ORS18; adaptierte CIELAB-Daten

	L*=L*a	a*a	b*a	C*ab,a	h*ab,a
O_{Ma}	47.94	65.39	50.52	82.63	38
Y_{Ma}	90.37	−10.26	91.75	92.32	96
L_{Ma}	50.9	−62.83	34.96	71.91	151
C_{Ma}	58.62	−30.34	−45.01	54.3	236
V_{Ma}	25.72	31.1	−44.4	54.22	305
M_{Ma}	48.13	75.28	−8.36	75.74	354
N_{Ma}	18.01	0.0	0.0	0.0	0
W_{Ma}	95.41	0.0	0.0	0.0	0
R_{CIE}	39.92	58.66	26.98	64.57	25
J_{CIE}	81.26	−2.16	67.76	67.79	92
G_{CIE}	52.23	−42.25	11.76	43.87	164
B_{CIE}	30.57	1.15	−46.84	46.86	271

1,00

%Regularität

g*$_{H,rel}$ = 57

g*$_{C,rel}$ = 59

0,75

n* = 0,00

0,25

n* = 0,25

Schwarzheit *n**

n* = 0,50

0,00

n* = 1,0

0,25 0,50 0,75 1,00

relative Buntheit *c**

Ausgabe: Farbmetrisches Fernseh-Licht-System TLS18

für Buntton *h* = lab*h = 196/360 = 0.546*
*lab*tch* und *lab*nch*

D65: Buntton C
LCH*Ma: 87 46 196
olv*Ma: 0.0 1.0 1.0

Dreiecks-Helligkeit *t**

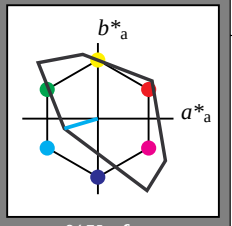

%Umfang

u*$_{rel}$ = 118

TLS18; adaptierte CIELAB-Daten

	L*=L*a	a*a	b*a	C*ab,a	h*ab,a
O_{Ma}	52.76	71.63	49.88	87.29	35
Y_{Ma}	92.74	−20.02	84.97	87.3	103
L_{Ma}	84.0	−78.98	73.94	108.2	137
C_{Ma}	87.14	−44.41	−13.11	46.32	196
V_{Ma}	35.47	64.92	−95.06	115.12	304
M_{Ma}	59.01	89.33	−55.67	105.26	328
N_{Ma}	18.01	0.0	0.0	0.0	0
W_{Ma}	95.41	0.0	0.0	0.0	0
R_{CIE}	39.92	58.74	27.99	65.07	25
J_{CIE}	81.26	−2.88	71.56	71.62	92
G_{CIE}	52.23	−42.41	13.6	44.55	162
B_{CIE}	30.57	1.41	−46.46	46.49	272

%Regularität

g*$_{H,rel}$ = 22

g*$_{C,rel}$ = 40

n* = 0,00

n* = 0,25

Schwarzheit *n**

n* = 0,50

n* = 1,0

0,25 0,50 0,75 1,00

relative Buntheit *c**

OG510−7, 5 stufige Reihen für konstanten CIELAB Buntton 236/360 = 0.656 (links)

5 stufige Reihen für konstanten CIELAB Buntton 196/360 = 0.546 (rechts)

BAM-Prüfvorlage OG51; Farbmetrik-Systeme ORS18 & TLS18 input: *cmy0* setcmykcolor*
D65: 2 Koordinatendaten von 5stufigen Farbreihen für 10 Buntt öne output: *no change compared to input*

Eingabe: Farbmetrisches Offset-Reflektiv-System ORS18

für Buntton *h* = lab*h = 305/360 = 0.847*
*lab*tch* und *lab*nch*

D65: Buntton V
LCH*Ma: 26 54 305
olv*Ma: 0.0 0.0 1.0

Dreiecks-Helligkeit *t**

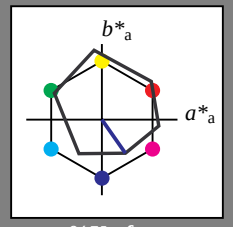

%Umfang

u*$_{rel}$ = 93

ORS18; adaptierte CIELAB-Daten

	L*=L*a	a*a	b*a	C*ab,a	h*ab,a
O_{Ma}	47.94	65.39	50.52	82.63	38
Y_{Ma}	90.37	−10.26	91.75	92.32	96
L_{Ma}	50.9	−62.83	34.96	71.91	151
C_{Ma}	58.62	−30.34	−45.01	54.3	236
V_{Ma}	25.72	31.1	−44.4	54.22	305
M_{Ma}	48.13	75.28	−8.36	75.74	354
N_{Ma}	18.01	0.0	0.0	0.0	0
W_{Ma}	95.41	0.0	0.0	0.0	0
R_{CIE}	39.92	58.66	26.98	64.57	25
J_{CIE}	81.26	−2.16	67.76	67.79	92
G_{CIE}	52.23	−42.25	11.76	43.87	164
B_{CIE}	30.57	1.15	−46.84	46.86	271

1,00

%Regularität

g*$_{H,rel}$ = 57

g*$_{C,rel}$ = 59

0,75

0,25

0,00

n* = 0,00

n* = 0,25

n* = 0,50

n* = 1,0

Schwarzheit *n**

0,25 0,50 0,75 1,00

relative Buntheit *c**

Ausgabe: Farbmetrisches Fernseh-Licht-System TLS18

für Buntton *h* = lab*h = 304/360 = 0.845*
*lab*tch* und *lab*nch*

D65: Buntton V
LCH*Ma: 35 115 304
olv*Ma: 0.0 0.0 1.0

Dreiecks-Helligkeit *t**

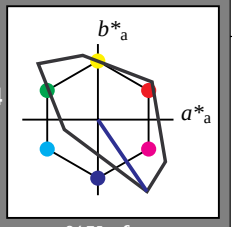

%Umfang

u*$_{rel}$ = 118

TLS18; adaptierte CIELAB-Daten

	L*=L*a	a*a	b*a	C*ab,a	h*ab,a
O_{Ma}	52.76	71.63	49.88	87.29	35
Y_{Ma}	92.74	−20.02	84.97	87.3	103
L_{Ma}	84.0	−78.98	73.94	108.2	137
C_{Ma}	87.14	−44.41	−13.11	46.32	196
V_{Ma}	35.47	64.92	−95.06	115.12	304
M_{Ma}	59.01	89.33	−55.67	105.26	328
N_{Ma}	18.01	0.0	0.0	0.0	0
W_{Ma}	95.41	0.0	0.0	0.0	0
R_{CIE}	39.92	58.74	27.99	65.07	25
J_{CIE}	81.26	−2.88	71.56	71.62	92
G_{CIE}	52.23	−42.41	13.6	44.55	162
B_{CIE}	30.57	1.41	−46.46	46.49	272

%Regularität

g*$_{H,rel}$ = 22

g*$_{C,rel}$ = 40

n* = 0,00

n* = 0,25

n* = 0,50

n* = 1,0

Schwarzheit *n**

0,25 0,50 0,75 1,00

relative Buntheit *c**

OG510−7, 5 stufige Reihen für konstanten CIELAB Buntton 305/360 = 0.847 (links)

5 stufige Reihen für konstanten CIELAB Buntton 304/360 = 0.845 (rechts)

BAM-Prüfvorlage OG51; Farbmetrik-Systeme ORS18 & TLS18 input: *cmy0* setcmykcolor*
D65: 2 Koordinatendaten von 5stufigen Farbreihen für 10 Buntt output: *no change compared to input*

Eingabe: Farbmetrisches Offset-Reflektiv-System ORS18

für Buntton *h* = lab*h = 354/360 = 0.982*
*lab*tch* und *lab*nch*

D65: Buntton M
LCH*Ma: 48 76 354
olv*Ma: 1.0 0.0 1.0

Dreiecks-Helligkeit *t**

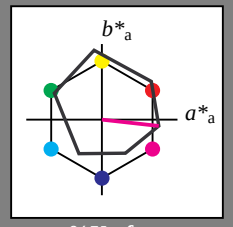

%Umfang

u^*_{rel} = 93

%Regularität

$g^*_{H,rel}$ = 57

$g^*_{C,rel}$ = 59

ORS18; adaptierte CIELAB-Daten

	$L^*=L^*_a$	a^*_a	b^*_a	$C^*_{ab,a}$	$h^*_{ab,a}$
O_{Ma}	47.94	65.39	50.52	82.63	38
Y_{Ma}	90.37	−10.26	91.75	92.32	96
L_{Ma}	50.9	−62.83	34.96	71.91	151
C_{Ma}	58.62	−30.34	−45.01	54.3	236
V_{Ma}	25.72	31.1	−44.4	54.22	305
M_{Ma}	48.13	75.28	−8.36	75.74	354
N_{Ma}	18.01	0.0	0.0	0.0	0
W_{Ma}	95.41	0.0	0.0	0.0	0
R_{CIE}	39.92	58.66	26.98	64.57	25
J_{CIE}	81.26	−2.16	67.76	67.79	92
G_{CIE}	52.23	−42.25	11.76	43.87	164
B_{CIE}	30.57	1.15	−46.84	46.86	271

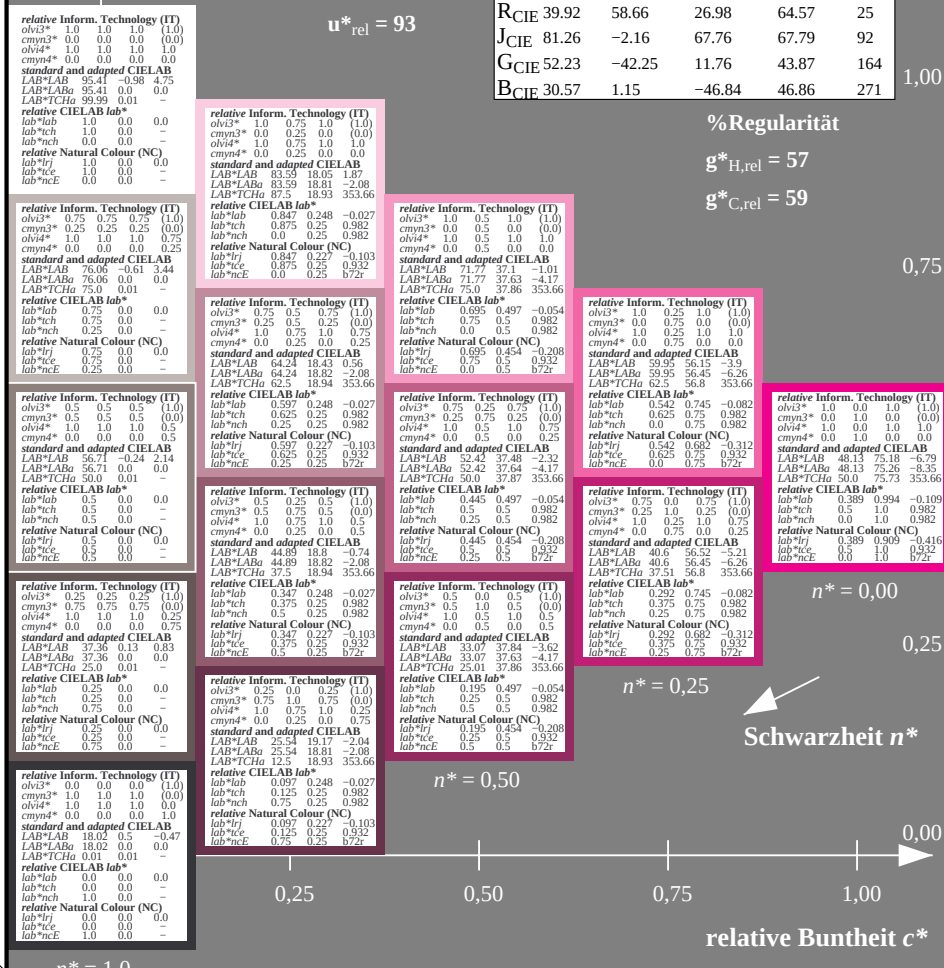

Ausgabe: Farbmetrisches Fernseh-Licht-System TLS18

für Buntton *h* = lab*h = 328/360 = 0.911*
*lab*tch* und *lab*nch*

D65: Buntton M
LCH*Ma: 59 105 328
olv*Ma: 1.0 0.0 1.0

Dreiecks-Helligkeit *t**

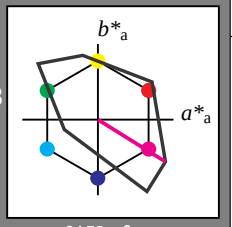

%Umfang

u^*_{rel} = 118

%Regularität

$g^*_{H,rel}$ = 22

$g^*_{C,rel}$ = 40

TLS18; adaptierte CIELAB-Daten

	$L^*=L^*_a$	a^*_a	b^*_a	$C^*_{ab,a}$	$h^*_{ab,a}$
O_{Ma}	52.76	71.63	49.88	87.29	35
Y_{Ma}	92.74	−20.02	84.97	87.3	103
L_{Ma}	84.0	−78.98	73.94	108.2	137
C_{Ma}	87.14	−44.41	−13.11	46.32	196
V_{Ma}	35.47	64.92	−95.06	115.12	304
M_{Ma}	59.01	89.33	−55.67	105.26	328
N_{Ma}	18.01	0.0	0.0	0.0	0
W_{Ma}	95.41	0.0	0.0	0.0	0
R_{CIE}	39.92	58.74	27.99	65.07	25
J_{CIE}	81.26	−2.88	71.56	71.62	92
G_{CIE}	52.23	−42.41	13.6	44.55	162
B_{CIE}	30.57	1.41	−46.46	46.49	272

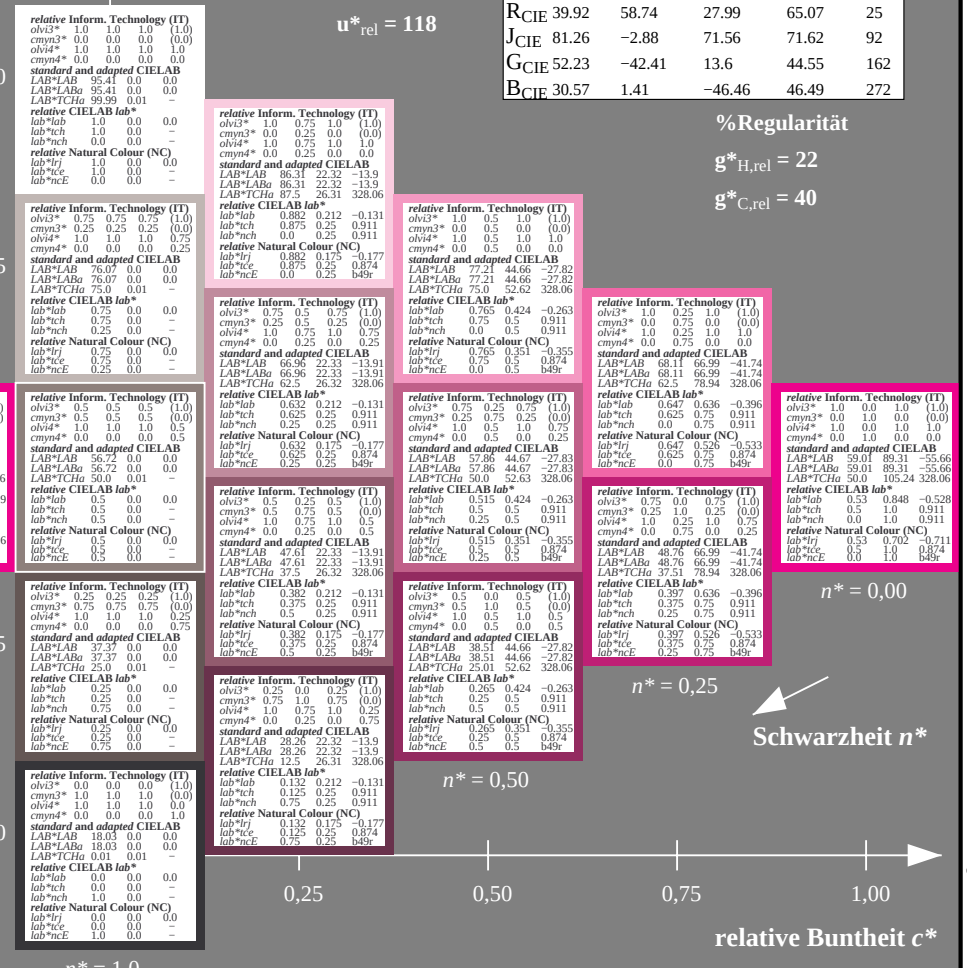

OG510−7, 5 stufige Reihen für konstanten CIELAB Buntton 354/360 = 0.982 (links)

5 stufige Reihen für konstanten CIELAB Buntton 328/360 = 0.911 (rechts)

BAM-Prüfvorlage OG51; Farbmetrik-Systeme ORS18 & TLS18 input: *cmy0* setcmykcolor*
D65: 2 Koordinatendaten von 5stufigen Farbreihen für 10 Bunttöne output: *no change compared to input*

Eingabe: Farbmetrisches Offset-Reflektiv-System ORS18

für Buntton *h* = lab*h = 25/360 = 0.069*
*lab*tch* und *lab*nch*

D65: Buntton R
LCH*Ma: 48 75 25
olv*Ma: 1.0 0.0 0.32

Dreiecks-Helligkeit *t**

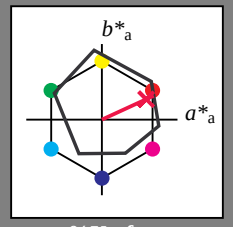

%Umfang

u*$_{rel}$ = 93

ORS18; adaptierte CIELAB-Daten

	L*=L*a	a*a	b*a	C*ab,a	h*ab,a
O_{Ma}	47.94	65.39	50.52	82.63	38
Y_{Ma}	90.37	−10.26	91.75	92.32	96
L_{Ma}	50.9	−62.83	34.96	71.91	151
C_{Ma}	58.62	−30.34	−45.01	54.3	236
V_{Ma}	25.72	31.1	−44.4	54.22	305
M_{Ma}	48.13	75.28	−8.36	75.74	354
N_{Ma}	18.01	0.0	0.0	0.0	0
W_{Ma}	95.41	0.0	0.0	0.0	0
R_{CIE}	39.92	58.66	26.98	64.57	25
J_{CIE}	81.26	−2.16	67.76	67.79	92
G_{CIE}	52.23	−42.25	11.76	43.87	164
B_{CIE}	30.57	1.15	−46.84	46.86	271

%Regularität

g*$_{H,rel}$ = 57

g*$_{C,rel}$ = 59

Ausgabe: Farbmetrisches Fernseh-Licht-System TLS18

für Buntton *h* = lab*h = 25/360 = 0.071*
*lab*tch* und *lab*nch*

D65: Buntton R
LCH*Ma: 54 82 25
olv*Ma: 1.0 0.0 0.14

Dreiecks-Helligkeit *t**

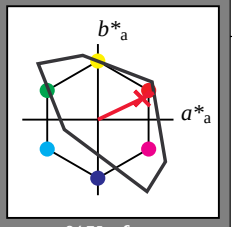

%Umfang

u*$_{rel}$ = 118

TLS18; adaptierte CIELAB-Daten

	L*=L*a	a*a	b*a	C*ab,a	h*ab,a
O_{Ma}	52.76	71.63	49.88	87.29	35
Y_{Ma}	92.74	−20.02	84.97	87.3	103
L_{Ma}	84.0	−78.98	73.94	108.2	137
C_{Ma}	87.14	−44.41	−13.11	46.32	196
V_{Ma}	35.47	64.92	−95.06	115.12	304
M_{Ma}	59.01	89.33	−55.67	105.26	328
N_{Ma}	18.01	0.0	0.0	0.0	0
W_{Ma}	95.41	0.0	0.0	0.0	0
R_{CIE}	39.92	58.74	27.99	65.07	25
J_{CIE}	81.26	−2.88	71.56	71.62	92
G_{CIE}	52.23	−42.41	13.6	44.55	162
B_{CIE}	30.57	1.41	−46.46	46.49	272

%Regularität

g*$_{H,rel}$ = 22

g*$_{C,rel}$ = 40

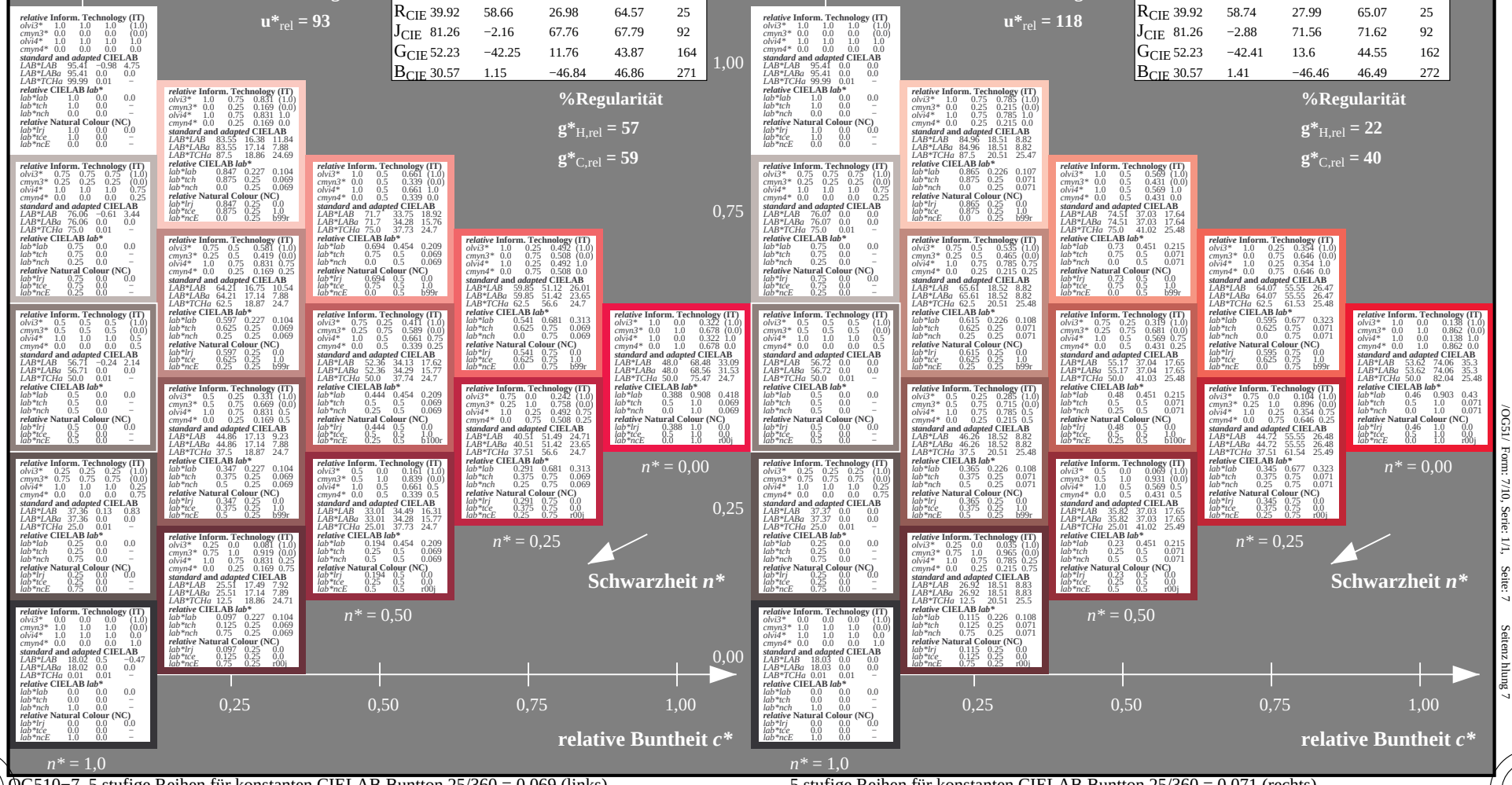

OG510−7, 5 stufige Reihen für konstanten CIELAB Buntton 25/360 = 0.069 (links)

5 stufige Reihen für konstanten CIELAB Buntton 25/360 = 0.071 (rechts)

Eingabe: Farbmetrisches Offset-Reflektiv-System ORS18

für Buntton *h* = lab*h = 92/360 = 0.255*
*lab*tch* und *lab*nch*

D65: Buntton J
LCH*Ma: 86 88 92
olv*Ma: 1.0 0.9 0.0

Dreiecks-Helligkeit *t**

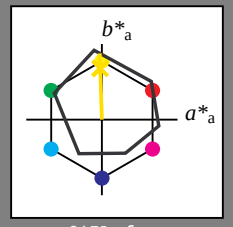

%Umfang

u*$_{rel}$ = 93

ORS18; adaptierte CIELAB-Daten

	L*=L*a	a*a	b*a	C*ab,a	h*ab,a
O_{Ma}	47.94	65.39	50.52	82.63	38
Y_{Ma}	90.37	−10.26	91.75	92.32	96
L_{Ma}	50.9	−62.83	34.96	71.91	151
C_{Ma}	58.62	−30.34	−45.01	54.3	236
V_{Ma}	25.72	31.1	−44.4	54.22	305
M_{Ma}	48.13	75.28	−8.36	75.74	354
N_{Ma}	18.01	0.0	0.0	0.0	0
W_{Ma}	95.41	0.0	0.0	0.0	0
R_{CIE}	39.92	58.66	26.98	64.57	25
J_{CIE}	81.26	−2.16	67.76	67.79	92
G_{CIE}	52.23	−42.25	11.76	43.87	164
B_{CIE}	30.57	1.15	−46.84	46.86	271

1,00

%Regularität

g*$_{H,rel}$ = 57

g*$_{C,rel}$ = 59

0,75

0,25

0,00

n* = 1,0 n* = 0,50 n* = 0,25 n* = 0,00

Schwarzheit *n**

0,25 0,50 0,75 1,00

relative Buntheit *c**

Ausgabe: Farbmetrisches Fernseh-Licht-System TLS18

für Buntton *h* = lab*h = 92/360 = 0.256*
*lab*tch* und *lab*nch*

D65: Buntton J
LCH*Ma: 85 79 92
olv*Ma: 1.0 0.82 0.0

Dreiecks-Helligkeit *t**

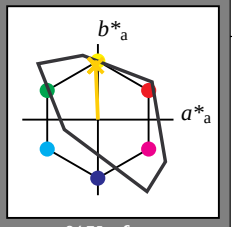

%Umfang

u*$_{rel}$ = 118

TLS18; adaptierte CIELAB-Daten

	L*=L*a	a*a	b*a	C*ab,a	h*ab,a
O_{Ma}	52.76	71.63	49.88	87.29	35
Y_{Ma}	92.74	−20.02	84.97	87.3	103
L_{Ma}	84.0	−78.98	73.94	108.2	137
C_{Ma}	87.14	−44.41	−13.11	46.32	196
V_{Ma}	35.47	64.92	−95.06	115.12	304
M_{Ma}	59.01	89.33	−55.67	105.26	328
N_{Ma}	18.01	0.0	0.0	0.0	0
W_{Ma}	95.41	0.0	0.0	0.0	0
R_{CIE}	39.92	58.74	27.99	65.07	25
J_{CIE}	81.26	−2.88	71.56	71.62	92
G_{CIE}	52.23	−42.41	13.6	44.55	162
B_{CIE}	30.57	1.41	−46.46	46.49	272

%Regularität

g*$_{H,rel}$ = 22

g*$_{C,rel}$ = 40

n* = 1,0 n* = 0,50 n* = 0,25 n* = 0,00

Schwarzheit *n**

0,25 0,50 0,75 1,00

relative Buntheit *c**

OG510−7, 5 stufige Reihen für konstanten CIELAB Buntton 92/360 = 0.255 (links)

5 stufige Reihen für konstanten CIELAB Buntton 92/360 = 0.256 (rechts)

BAM-Prüfvorlage OG51; Farbmetrik-Systeme ORS18 & TLS18 input: *cmy0* setcmykcolor*
D65: 2 Koordinatendaten von 5stufigen Farbreihen für 10 Buntt**ö**ne output: *no change compared to input*

Eingabe: Farbmetrisches Offset-Reflektiv-System ORS18

für Buntton *h* = lab*h = 164/360 = 0.457*
*lab*tch* und *lab*nch*

D65: Buntton G
LCH*Ma: 53 57 164
olv*Ma: 0.0 1.0 0.25

Dreiecks-Helligkeit *t**

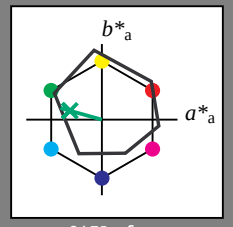

%Umfang

u*$_{rel}$ = 93

ORS18; adaptierte CIELAB-Daten

	L*=L*a	a*a	b*a	C*ab,a	h*ab,a
O_{Ma}	47.94	65.39	50.52	82.63	38
Y_{Ma}	90.37	−10.26	91.75	92.32	96
L_{Ma}	50.9	−62.83	34.96	71.91	151
C_{Ma}	58.62	−30.34	−45.01	54.3	236
V_{Ma}	25.72	31.1	−44.4	54.22	305
M_{Ma}	48.13	75.28	−8.36	75.74	354
N_{Ma}	18.01	0.0	0.0	0.0	0
W_{Ma}	95.41	0.0	0.0	0.0	0
R_{CIE}	39.92	58.66	26.98	64.57	25
J_{CIE}	81.26	−2.16	67.76	67.79	92
G_{CIE}	52.23	−42.25	11.76	43.87	164
B_{CIE}	30.57	1.15	−46.84	46.86	271

1,00

%Regularität

g*$_{H,rel}$ = 57

g*$_{C,rel}$ = 59

0,75

0,25

0,00

n* = 0,00

n* = 0,25

n* = 0,50

n* = 1,0

Schwarzheit *n**

0,25 0,50 0,75 1,00

relative Buntheit *c**

Ausgabe: Farbmetrisches Fernseh-Licht-System TLS18

für Buntton *h* = lab*h = 162/360 = 0.451*
*lab*tch* und *lab*nch*

D65: Buntton G
LCH*Ma: 86 60 162
olv*Ma: 0.0 1.0 0.64

Dreiecks-Helligkeit *t**

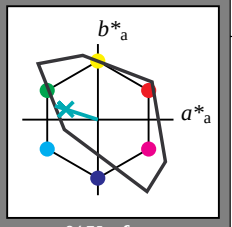

%Umfang

u*$_{rel}$ = 118

TLS18; adaptierte CIELAB-Daten

	L*=L*a	a*a	b*a	C*ab,a	h*ab,a
O_{Ma}	52.76	71.63	49.88	87.29	35
Y_{Ma}	92.74	−20.02	84.97	87.3	103
L_{Ma}	84.0	−78.98	73.94	108.2	137
C_{Ma}	87.14	−44.41	−13.11	46.32	196
V_{Ma}	35.47	64.92	−95.06	115.12	304
M_{Ma}	59.01	89.33	−55.67	105.26	328
N_{Ma}	18.01	0.0	0.0	0.0	0
W_{Ma}	95.41	0.0	0.0	0.0	0
R_{CIE}	39.92	58.74	27.99	65.07	25
J_{CIE}	81.26	−2.88	71.56	71.62	92
G_{CIE}	52.23	−42.41	13.6	44.55	162
B_{CIE}	30.57	1.41	−46.46	46.49	272

%Regularität

g*$_{H,rel}$ = 22

g*$_{C,rel}$ = 40

n* = 0,00

n* = 0,25

n* = 0,50

n* = 1,0

Schwarzheit *n**

0,25 0,50 0,75 1,00

relative Buntheit *c**

OG510−7, 5 stufige Reihen für konstanten CIELAB Buntton 164/360 = 0.457 (links)

5 stufige Reihen für konstanten CIELAB Buntton 162/360 = 0.451 (rechts)

BAM-Prüfvorlage OG51; Farbmetrik-Systeme ORS18 & TLS18 input: *cmy0* setcmykcolor*
D65: 2 Koordinatendaten von 5stufigen Farbreihen für 10 Buntt**ö**ne output: *no change compared to input*

Eingabe: Farbmetrisches Offset-Reflektiv-System ORS18

für Buntton *h* = lab*h = 271/360 = 0.754*
*lab*tch* und *lab*nch*

D65: Buntton B
LCH*Ma: 42 45 271
olv*Ma: 0.0 0.49 1.0

Dreiecks-Helligkeit *t**

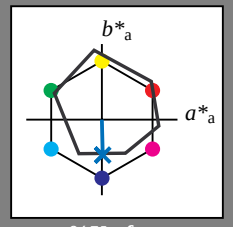

%Umfang

u*$_{rel}$ = 93

ORS18; adaptierte CIELAB-Daten

	L*=L*a	a*a	b*a	C*ab,a	h*ab,a
O_{Ma}	47.94	65.39	50.52	82.63	38
Y_{Ma}	90.37	−10.26	91.75	92.32	96
L_{Ma}	50.9	−62.83	34.96	71.91	151
C_{Ma}	58.62	−30.34	−45.01	54.3	236
V_{Ma}	25.72	31.1	−44.4	54.22	305
M_{Ma}	48.13	75.28	−8.36	75.74	354
N_{Ma}	18.01	0.0	0.0	0.0	0
W_{Ma}	95.41	0.0	0.0	0.0	0
R_{CIE}	39.92	58.66	26.98	64.57	25
J_{CIE}	81.26	−2.16	67.76	67.79	92
G_{CIE}	52.23	−42.25	11.76	43.87	164
B_{CIE}	30.57	1.15	−46.84	46.86	271

1,00

%Regularität

g*$_{H,rel}$ = 57

g*$_{C,rel}$ = 59

0,75

0,25

0,00

n* = 0,00

n* = 0,25

n* = 0,50

n* = 1,0

Schwarzheit *n**

0,25 0,50 0,75 1,00

relative Buntheit *c**

Ausgabe: Farbmetrisches Fernseh-Licht-System TLS18

für Buntton *h* = lab*h = 272/360 = 0.755*
*lab*tch* und *lab*nch*

D65: Buntton B
LCH*Ma: 65 48 272
olv*Ma: 0.0 0.58 1.0

Dreiecks-Helligkeit *t**

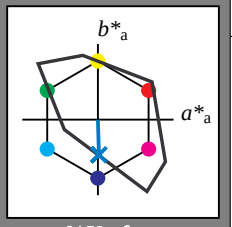

%Umfang

u*$_{rel}$ = 118

TLS18; adaptierte CIELAB-Daten

	L*=L*a	a*a	b*a	C*ab,a	h*ab,a
O_{Ma}	52.76	71.63	49.88	87.29	35
Y_{Ma}	92.74	−20.02	84.97	87.3	103
L_{Ma}	84.0	−78.98	73.94	108.2	137
C_{Ma}	87.14	−44.41	−13.11	46.32	196
V_{Ma}	35.47	64.92	−95.06	115.12	304
M_{Ma}	59.01	89.33	−55.67	105.26	328
N_{Ma}	18.01	0.0	0.0	0.0	0
W_{Ma}	95.41	0.0	0.0	0.0	0
R_{CIE}	39.92	58.74	27.99	65.07	25
J_{CIE}	81.26	−2.88	71.56	71.62	92
G_{CIE}	52.23	−42.41	13.6	44.55	162
B_{CIE}	30.57	1.41	−46.46	46.49	272

%Regularität

g*$_{H,rel}$ = 22

g*$_{C,rel}$ = 40

n* = 0,00

n* = 0,25

n* = 0,50

n* = 1,0

Schwarzheit *n**

0,25 0,50 0,75 1,00

relative Buntheit *c**

OG510−7, 5 stufige Reihen für konstanten CIELAB Buntton 271/360 = 0.754 (links)

5 stufige Reihen für konstanten CIELAB Buntton 272/360 = 0.755 (rechts)

BAM-Prüfvorlage OG51; Farbmetrik-Systeme ORS18 & TLS18 input: *cmy0* setcmykcolor*
D65: 2 Koordinatendaten von 5stufigen Farbreihen für 10 Buntt[illegible] output: *no change compared to input*